

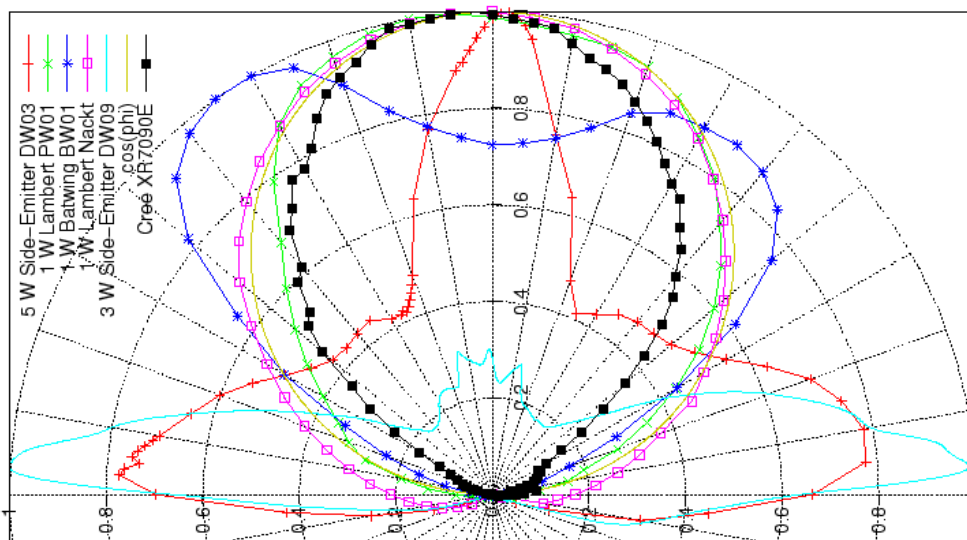
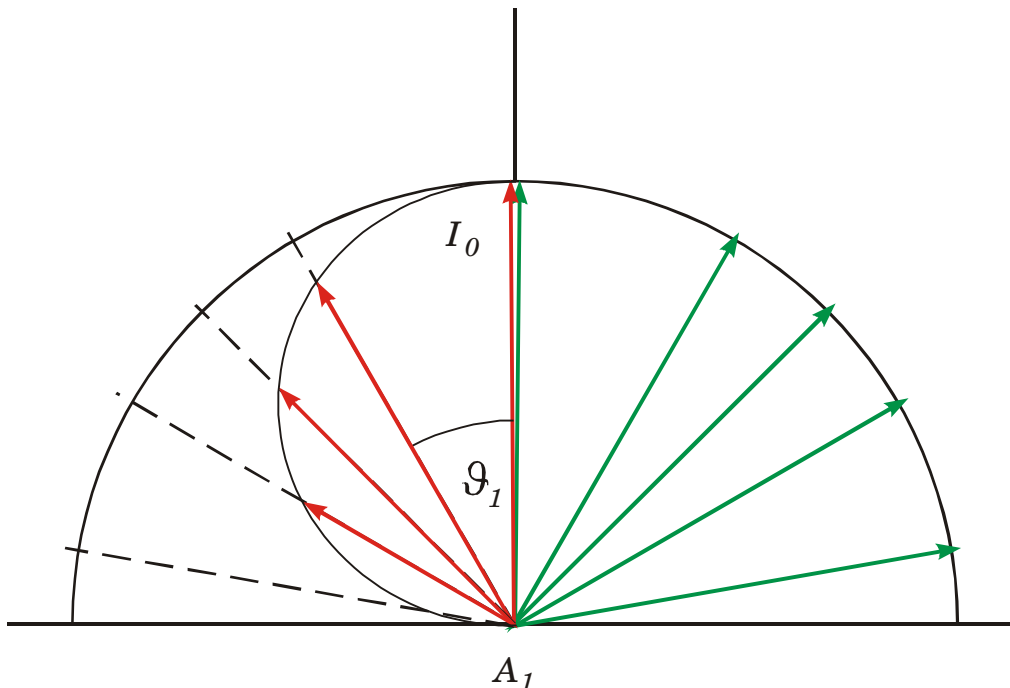
Lambertstrahler

Strahlstärke

$$I = I_0 \cdot \cos \vartheta_1$$

Strahldichte

$$L = \frac{I}{A_1 \cdot \cos \vartheta_1}$$



Abstrahlverhalten von LED's, Quelle Olaf Schultze, Hamburg-Harburg
<http://www.enhydraturis.de/Fahrrad/Beleuchtung/node140.html>

Lichttechnik

Reflexion

spekt r al

$$\rho(\lambda) = \frac{\phi_r}{\phi_o} = \frac{\int I \, d\Omega}{\phi_o}$$

int egr al

$$\rho = \frac{\phi_r}{\phi_o} = \frac{\int \frac{\partial \phi}{\partial \lambda} \cdot \rho(\lambda) \, d\lambda}{\int \frac{\partial \phi}{\partial \lambda} \cdot d\lambda}$$

akt inisch

$$\rho_{akt} = \frac{\phi_{akt,r}}{\phi_{akt,o}} = \frac{\int \frac{\partial \phi}{\partial \lambda} \cdot \rho(\lambda) \cdot \varepsilon(\lambda) \, d\lambda}{\int \frac{\partial \phi}{\partial \lambda} \cdot \varepsilon(\lambda) \, d\lambda}$$

visuell

$$\rho_v = \frac{\phi_{v,r}}{\phi_{o,r}} = \frac{\int \frac{\partial \phi}{\partial \lambda} \cdot \rho(\lambda) \cdot V(\lambda) \, d\lambda}{\int \frac{\partial \phi}{\partial \lambda} \cdot V(\lambda) \, d\lambda}$$

Remission

$$\beta(\lambda) = \frac{I_p}{I_N} = \frac{\phi_p}{\phi_N}$$

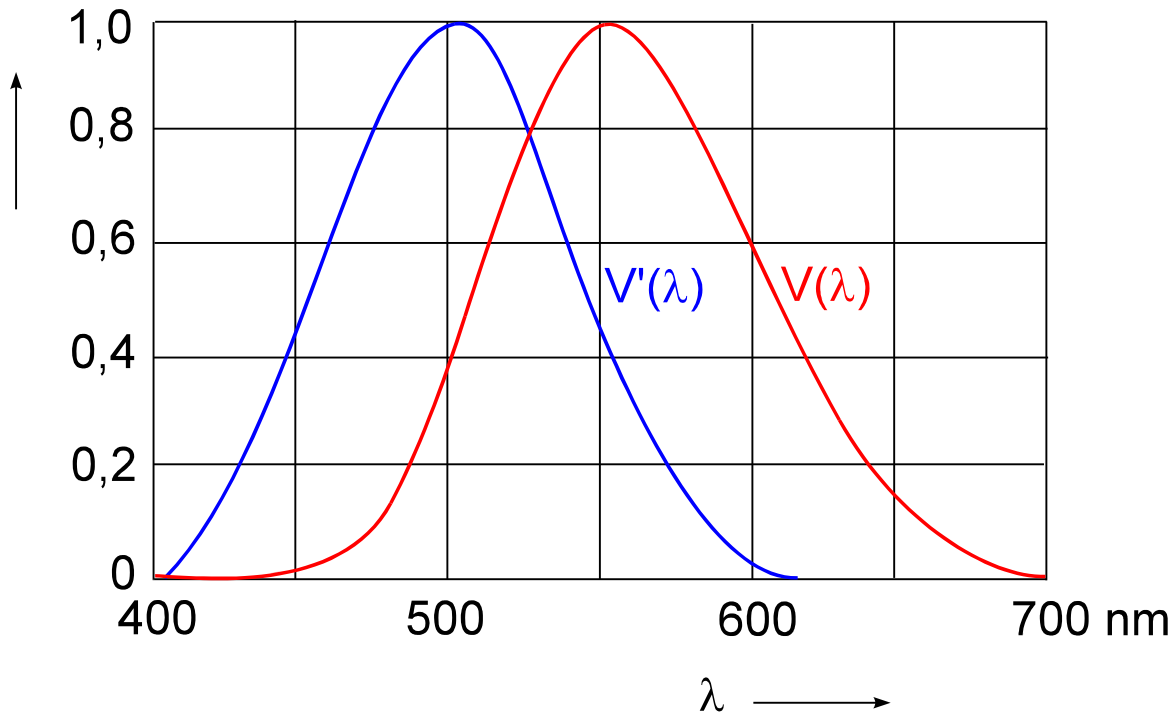
$$\beta = \frac{\int \frac{\partial \phi}{\partial \lambda} \cdot \beta(\lambda) \, d\lambda}{\int \frac{\partial \phi}{\partial \lambda} \cdot d\lambda}$$

$$\beta_{akt} = \frac{\int \frac{\partial \phi}{\partial \lambda} \cdot \varepsilon(\lambda) \cdot \beta(\lambda) \, d\lambda}{\int \frac{\partial \phi}{\partial \lambda} \cdot \varepsilon(\lambda) \, d\lambda}$$

$$\beta_v = \frac{\int \frac{\partial \phi}{\partial \lambda} \cdot \beta(\lambda) \cdot V(\lambda) \, d\lambda}{\int \frac{\partial \phi}{\partial \lambda} \cdot V(\lambda) \, d\lambda}$$

$$Y = 100 \cdot \beta_v$$

Spektrale Hellempfindlichkeit des Auges für Tagsehen $V(\lambda)$ und für Nachtsehen $V'(\lambda)$



Die wichtigsten strahlungsphysikalischen Größen

Strahlungs-physikalische Größe X	vereinfacht	exakt	SI - Einheit
Strahlungsfluss ϕ	Strahlungsleistung		W
Spektraler Strahlungsfluß ϕ_λ		$\frac{d\phi}{d\lambda}$	W nm ⁻¹
Strahldichte L	$\frac{I}{A_1 \cos \vartheta_1}$	$\frac{dI}{dA_1 \cos \vartheta_1}$	W/ m ² sr
Strahlstärke I	$I = \frac{\phi}{\Omega_1}$	$I = \frac{d\phi}{d\Omega_1}$	W/ sr
Spezifische Ausstrahlung M	$M = \frac{\phi}{A_1}$	$M = \frac{d\phi}{dA_1}$	W/ m ²
Bestrahlungsstärke E	$E = \frac{\phi}{A_2}$	$E = \frac{d\phi}{dA_2}$	W/ m ²
Strahlungsmenge Q	$\phi \cdot \Delta t$	$Q = \int \phi dt$	Ws
Bestrahlung H	$H = \frac{Q}{A_2}$	$H = \frac{dQ}{dA_2}$	Ws/ m ²

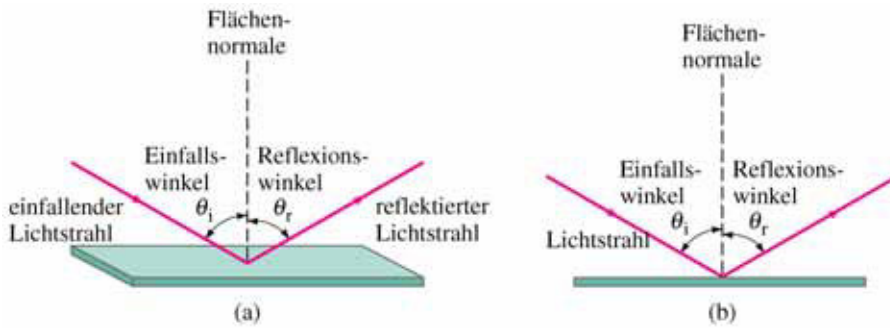
Die wichtigsten lichttechnischen Größen

Größe X	vereinfacht	exakt	Einheit
Lichtstrom ϕ_v			Lumen lm lm = cd · sr
Leuchtdichte L _v	$\frac{I_v}{A_1 \cos \vartheta_1}$	$\frac{dI_v}{dA_1 \cos \vartheta_1}$	cd/ m ²
Lichtstärke I _v	$I_v = \frac{\phi_v}{\Omega_1}$	$I_v = \frac{d\phi_v}{d\Omega_1}$	Candela cd
Beleuchtungsstärke E _v	$E_v = \frac{\phi_v}{A_2}$	$E_v = \frac{d\phi_v}{dA_2}$	Lux lx lx = lm / m ²

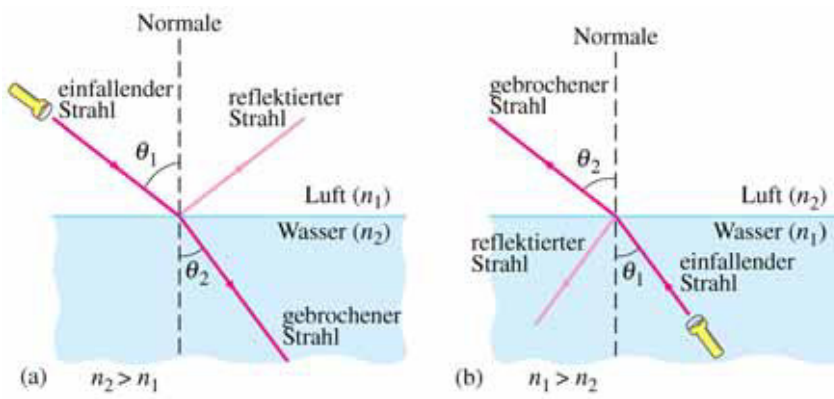
$$X_v = C \int \frac{\partial X}{\partial \lambda} \cdot V(\lambda) d\lambda; \quad \text{Lichttechnisches Äquivalent} \quad C = 683 \frac{\text{lm}}{\text{W}}$$

Geometrische Optik

Reflexionsgesetz



Bruchungsgesetz

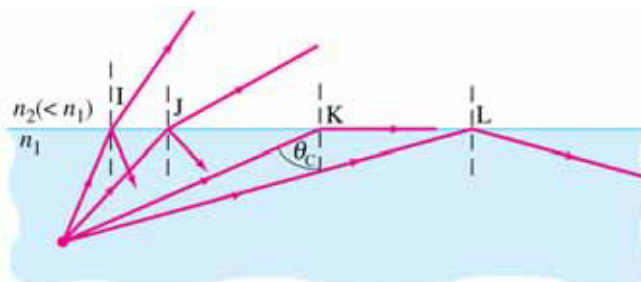


$$n_1 \sin \theta_1 = n_2 \sin \theta_2$$

Anwendungen: Totalreflexion und Lichtleitung
 Grenzwinkel der Totalreflexion

$$n_1 \sin \theta_1 = n_2 \sin \theta_2 \quad ; \quad \theta_2 = 90^\circ$$

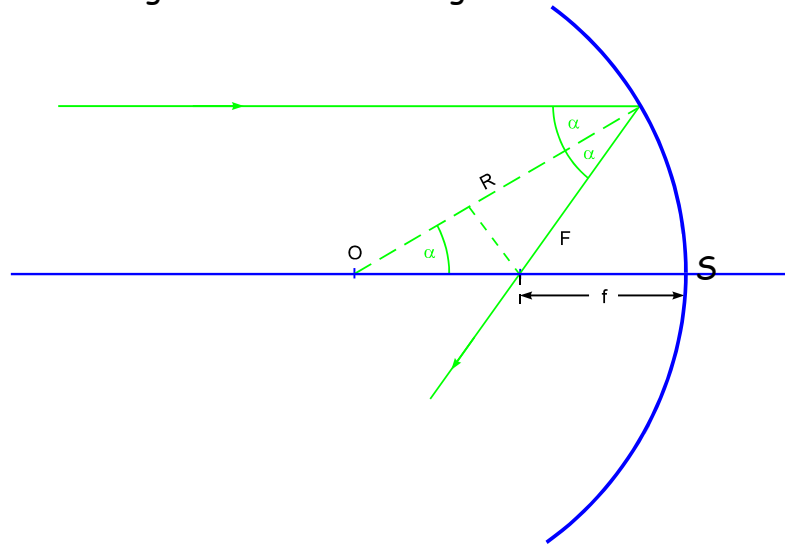
$$\sin \theta_G = \frac{n_2}{n_1}$$



Geometrische Optik - Optische Abbildung durch Reflexion

Konkavspiegel-Hohlspiegel

Ableitung der Beziehung zwischen Krümmungsradius und Brennweite



Betrachtet werden paraxiale Strahlen, d.h. $\alpha \ll 1$.

$$\cos \alpha = \frac{R}{2 \cdot OF}$$
$$OF = \frac{R}{2} \cdot \frac{1}{\cos \alpha} = \frac{R}{2} \cdot \frac{1}{\sqrt{1 - \sin^2 \alpha}}$$

$$OF = \frac{R}{2} \cdot \left(1 + \frac{\alpha^2}{2}\right) \text{ mit } \alpha \ll 1$$

$$OF \approx \frac{R}{2}$$

O- Krümmungsmittelpunkt

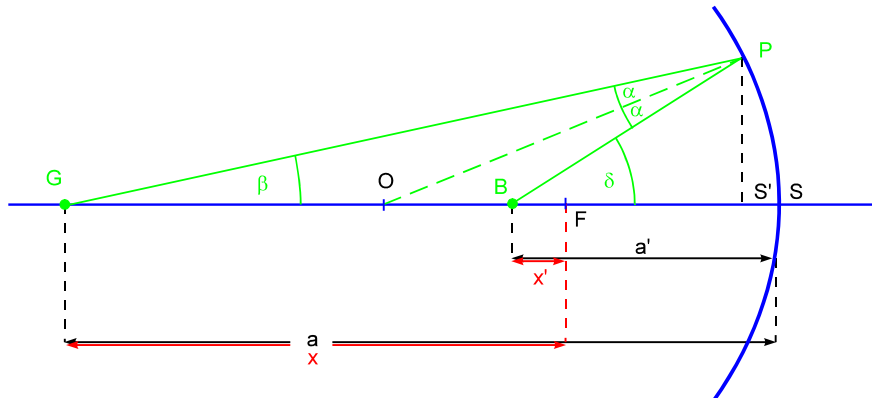
F- Brennpunkt

S - Scheitelpunkt

OS- Hauptachse, optische Achse

$FS = f$ Brennweite

Ableitung der Abbildungsgleichung für den Hohlspiegel



Voraussetzung: $SS' \ll OG, OB$

1. Betrachtet wird Dreieck GOP :

$$\alpha + \beta + \varepsilon = 180^\circ \quad \varepsilon\text{- Winkel } GOP; \theta \text{ dazugehöriger Außenwinkel}$$

$$\alpha + \beta = \theta \quad (1)$$

2. Betrachtet wird Dreieck OBP :

$$\theta + \alpha = \delta \quad (2)$$

mit (1) folgt: $2\alpha + \beta = \delta$

$$2\alpha = \delta - \beta \quad (2')$$

(1) multipliziert mit dem Faktor 2 ergibt: $2\alpha + 2\beta = 2\theta$

einsetzen von (2') $\delta - \beta + 2\beta = 2\theta$

$$\delta + \beta = 2\theta$$

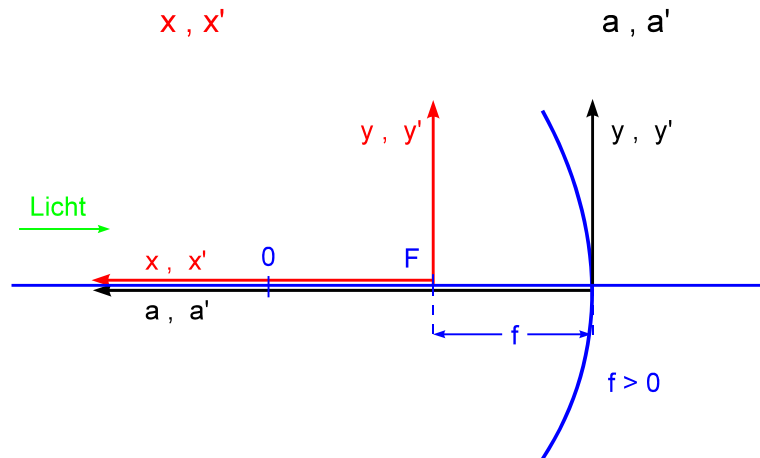
Für kleine Winkel gilt: $\beta = \frac{PS}{a}; \delta = \frac{PS}{a'}; \theta = \frac{PS}{r}; \frac{r}{2} = f$

Abbildungsgleichung:
$$\frac{1}{f} = \frac{1}{a} + \frac{1}{a'}$$

Konkavspiegel - Hohlspiegel

Brennpunktkoordinaten

Scheitelpunktkoordinaten



Abbildungsgleichung in Scheitelpunktskoordinaten

$$\frac{1}{f} = \frac{1}{a} + \frac{1}{a'}$$

Abbildungsmaßstab

$$\beta = \frac{y'}{y} = -\frac{a'}{a}$$

Abbildungsgleichung in Brennpunktskoordinaten

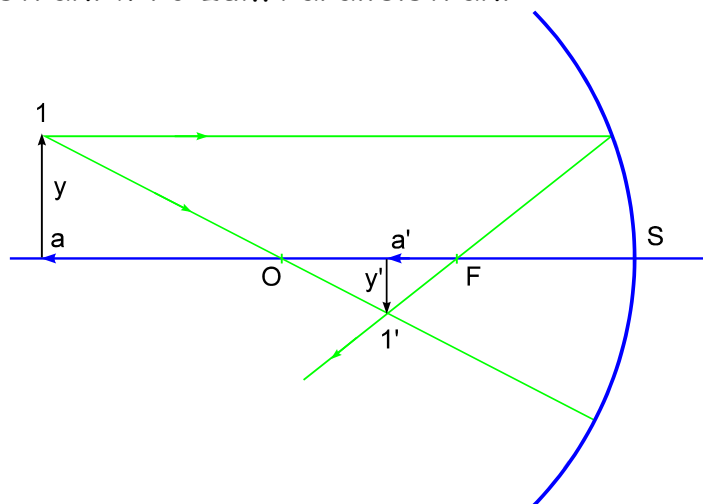
$$f^2 = xx'$$

Abbildungsmaßstab

$$\beta = \frac{y'}{y} = -\frac{x'}{f} ; \quad \beta = \frac{y'}{y} = -\frac{f}{x}$$

Bildkonstruktion

1. Parallelstrahl wird zum Brennpunktstrahl
2. Mittelpunktstrahl durch O wird in sich selbst reflektiert
3. Brennpunktstrahl wird zum Parallelstrahl



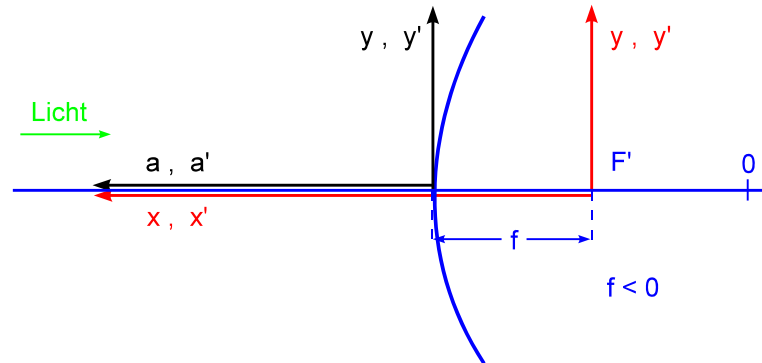
Konvexspiegel – Wölbspiegel

Scheitelpunktkoordinaten

Brennpunktkoordinaten

a, a'

x, x'



Abbildungsgleichung in Scheitelpunktkoordinaten

$$\frac{1}{f} = \frac{1}{a} + \frac{1}{a'}$$

Abbildungsmaßstab

$$\beta = \frac{y'}{y} = -\frac{a'}{a}$$

Abbildungsgleichung in Brennpunktkoordinaten

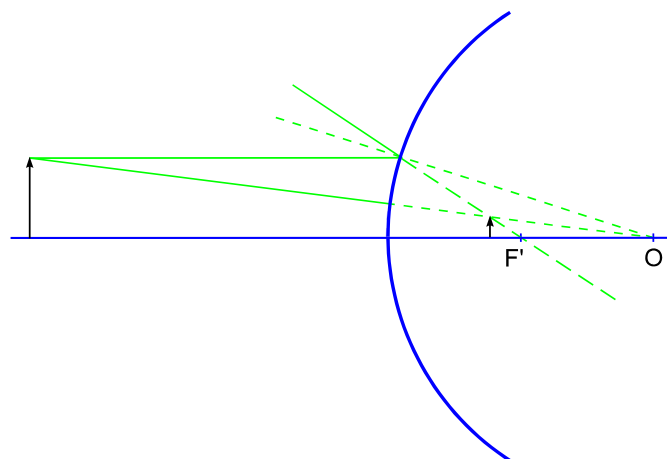
$$f^2 = xx'$$

Abbildungsmaßstab

$$\beta = \frac{y'}{y} = -\frac{x'}{f} ; \quad \beta = \frac{y'}{y} = -\frac{f}{x}$$

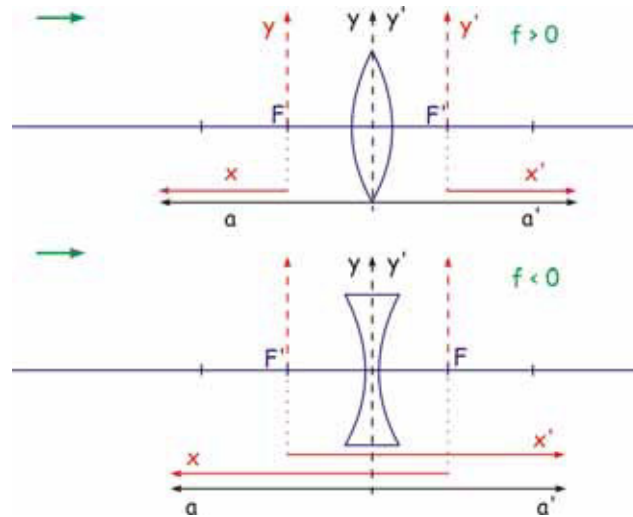
Bildkonstruktion

1. Parallelstrahl wird zum Brennpunktstrahl
2. Mittelpunktstrahl durch O wird in sich selbst reflektiert
3. Brennpunktstrahl wird zum Parallelstrahl



Geometrische Optik - Abbildung durch Brechung

Abbildungsgleichung für die dünne Linse



in Scheitelpunktskoordinaten

$$\frac{1}{a} + \frac{1}{a'} = \frac{1}{f} = (n-1) \cdot \left(\frac{1}{r_1} - \frac{1}{r_2} \right)$$

$$\beta = \frac{y'}{y} = -\frac{a'}{a}$$

in Brennpunktskoordinaten $a - f = x$

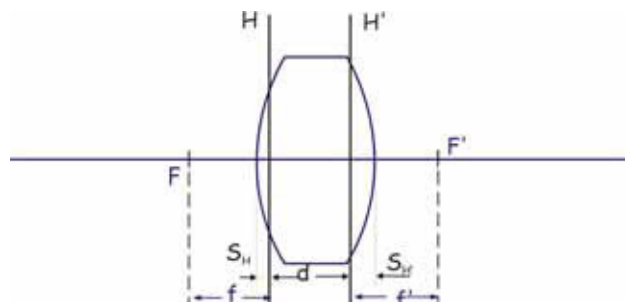
$$a' - f = x'$$

$$xx' = f^2 \quad \beta = \frac{y'}{y} = -\frac{x'}{f} = -\frac{f}{x}$$

Abbildungsgleichungen für die dicke Linse

$$\frac{1}{a} + \frac{1}{a'} = \frac{1}{f}$$

$$\frac{1}{f} = (n-1) \cdot \left(\frac{1}{r_1} - \frac{1}{r_2} \right) + \left(\frac{(n-1)^2}{n} \right) \frac{d}{r_1 r_2}$$



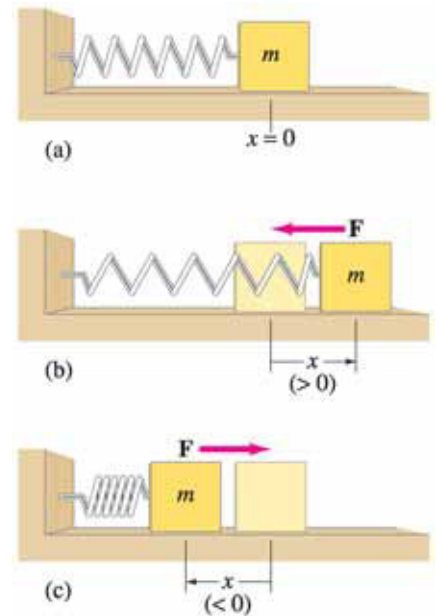
$$s_{H'} = -f' \frac{n_L - 1}{n_L} \cdot \frac{d}{r_1}$$

$$s_H = -f' \frac{n_L - 1}{n_L} \cdot \frac{d}{r_2}$$

Schwingungen und Wellen

Bewegungsgleichung für die harmonische Schwingung

Beispiel: *Federschwinger*



$$m a = m \ddot{x} = -k x$$

$$\ddot{x} + \frac{k}{m} x = 0$$

DGL für die harmonische Schwingung

Lösungsansatz:

$$x(t) = x_m \cos(\omega_0 t + \alpha)$$

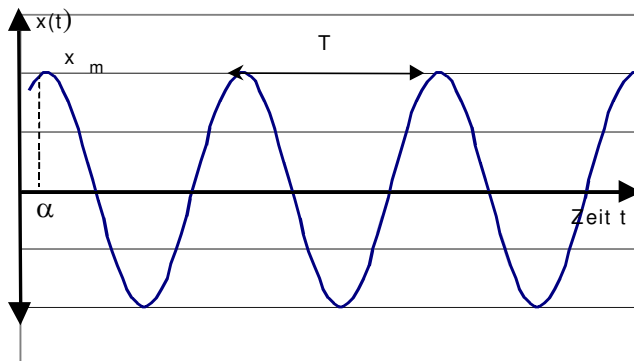
$$\dot{x}(t) = -x_m \omega_0 \sin(\omega_0 t + \alpha)$$

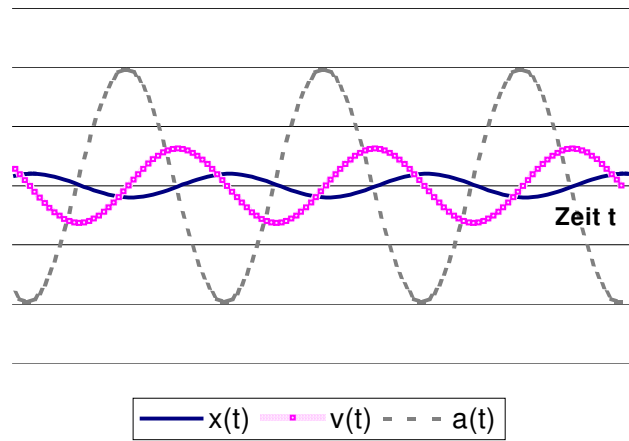
$$\ddot{x}(t) = -x_m \omega_0^2 \cos(\omega_0 t + \alpha)$$

Charakteristische Gleichung: $-\omega_0^2 + \frac{k}{m} = 0$

<i>Kreisfrequenz</i>	<i>Schwingungsdauer</i>
$\omega_0 = \sqrt{\frac{k}{m}}$	$T = 2\pi \sqrt{\frac{m}{k}}$

Schwingungsamplitude $x(t)$





$$x(t) = x_m \cos(\omega_0 t + \alpha)$$

$$v(t) = \frac{dx}{dt} = \dot{x}(t) = -x_m \omega_0 \sin(\omega_0 t + \alpha)$$

$$a(t) = \frac{dv}{dt} = \frac{d^2x}{dt^2} = \ddot{x}(t) = -x_m \omega_0^2 \cos(\omega_0 t + \alpha)$$

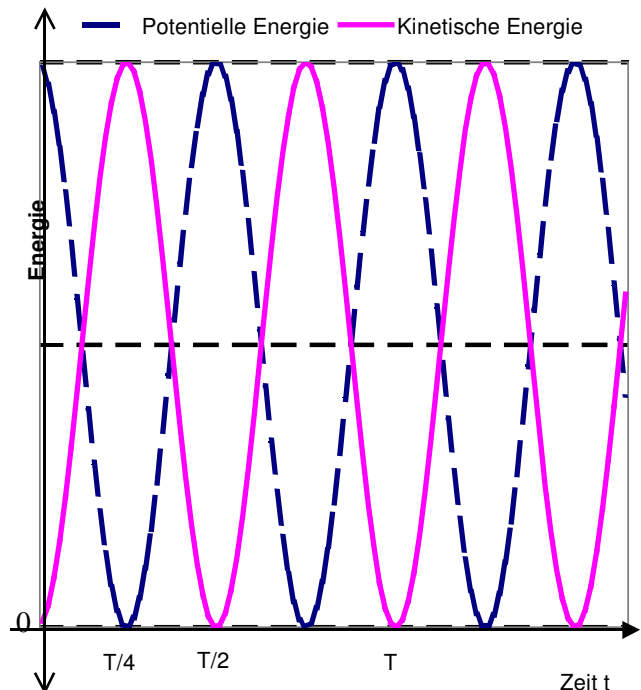
Energie des harmonischen Oszillators

$$W_G = W_{pot} + W_{kin} = \frac{k}{2} x^2(t) + \frac{m}{2} v^2(t)$$

$$W_{pot} = \frac{k}{2} x_m^2 \cos^2(\omega_0 t + \alpha)$$

$$W_{kin} = \frac{m}{2} x_m^2 \omega_0^2 \sin^2(\omega_0 t + \alpha)$$

$$W_G = \frac{k}{2} x_m^2 = \frac{m}{2} v_m^2$$



Energieerhaltung - Die Gesamtenergie ist zeitlich konstant.

Schwingungen und Welle - Interferenz

Überlagerung von Wellen gleicher Wellenlänge λ und gleicher Frequenz f , die sich in positiver Richtung ausbreiten:

$$x_1(t, r) = A_1 \cos(\omega t - kr_1) \quad x_2(t, r) = A_2 \cos(\omega t - kr_2)$$

Überlagerung von Wellen mit gleicher Amplituden $A_1 = A_2$:

$$x(t, r) = x_1(t, r) + x_2(t, r) = A_1 \cos(\omega t - kr_1) + A_2 \cos(\omega t - kr_2)$$

$$x(t, r) = 2A \cos\left(\frac{k(r_2 - r_1)}{2}\right) \cdot \cos\left(\omega t - \frac{k(r_1 + r_2)}{2}\right) \text{ Näherung: } \frac{(r_1 + r_2)}{2} \approx r_0 = r$$

$$x(t, r) = 2A \cos\left(\frac{k(r_2 - r_1)}{2}\right) \cdot \cos(\omega t - kr)$$

$\Delta = r_2 - r_1$ Gangunterschied

$$x(t, r) = 2A \cos\left(\frac{k\Delta}{2}\right) \cdot \cos(\omega t - kr)$$

Im Abstand r wird eine Welle beobachtet, deren Amplitude abhängig von der Phasendifferenz $k \frac{\Delta}{2} = \frac{\pi\Delta}{\lambda}$ ist.

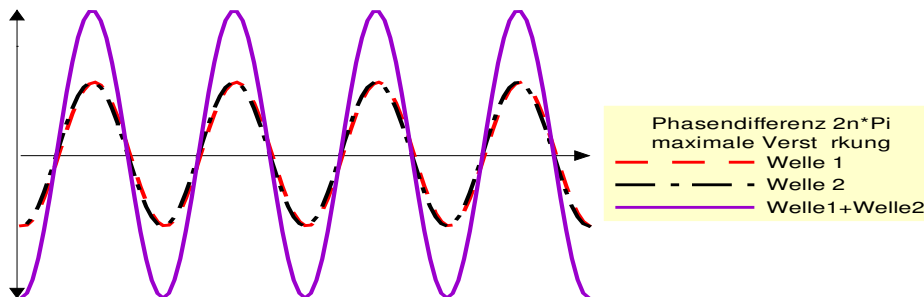


Abbildung : Die maximale Verstärkung entspricht also dem Gangunterschied von $\Delta = n\lambda$

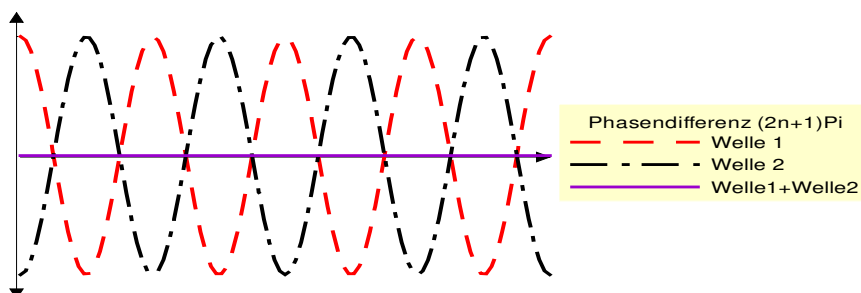
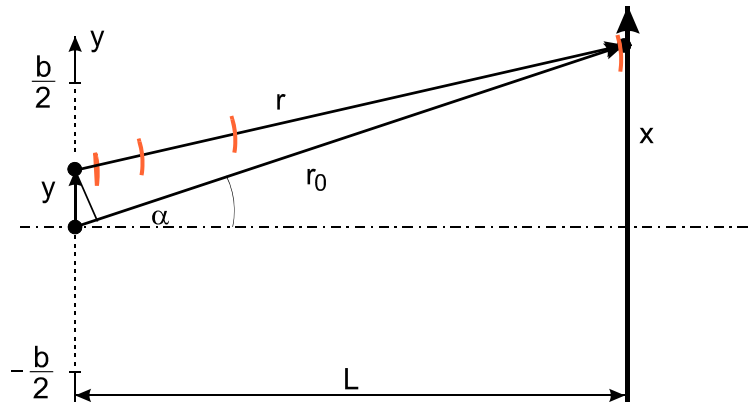


Abbildung : Auslöschung entspricht also dem Gangunterschied von $\Delta = (2n+1)\lambda/2$

Schwingungen und Wellen - Beugung am Spalt

Nach dem Huygens-Fresnelschen Prinzip ist jeder Punkt einer Wellenfront, die den Spalt erreicht Ausgangspunkt einer Elementarwelle (Kugelwelle). Vom Punkt y geht eine Kugelwelle aus, deren Amplitude im Punkt P wie folgt beschrieben wird:



$$U_y(P) = \frac{A}{r} \cos(\omega t - kr)$$

Für die Koordinate r gilt: $r = r_0 - y \sin \alpha$

Damit ergibt sich für U_y

$$U_y(P) = \frac{A}{r_0 - y \sin \alpha} \cos(\omega t - k(r_0 - y \sin \alpha))$$

Unter Anwendung der Additionstheoreme erhält man:

$$U_y(P) = \frac{A}{r_0 - y \sin \alpha} (\cos(\omega t - kr_0) \cos(ky \sin \alpha) + \sin(\omega t - kr_0) \sin(ky \sin \alpha))$$

Mit der Näherung $r_0 - y \sin \alpha \approx r_0$ wird die Amplitude U_y zu:

$$U_y(P) = \frac{A}{r_0} (\cos(\omega t - kr_0) \cos(ky \sin \alpha) + \sin(\omega t - kr_0) \sin(ky \sin \alpha))$$

Von jedem Punkt innerhalb des Spaltes gehen in gleicher Weise Elementarwellen aus. Die Gesamtwelle im Punkt P ergibt sich durch Integration über alle Teilwellen.

$$U(P) = \int_{-\frac{b}{2}}^{\frac{b}{2}} U_y(P) dy$$

$$U(P) = \frac{A}{r_0} \left(\cos(\omega t - kr_0) \int_{-\frac{b}{2}}^{\frac{b}{2}} \cos(ky \sin \alpha) dy + \sin(\omega t - kr_0) \int_{-\frac{b}{2}}^{\frac{b}{2}} \sin(ky \sin \alpha) dy \right)$$

mit $C = \frac{A}{r_0} \cos(\omega t - kr_0)$ folgt

$$U(P) = C \cdot b \cdot \frac{\sin(k \frac{b}{2} \sin \alpha)}{k \frac{b}{2} \sin \alpha} \quad \text{bzw. für die Intensität im Punkt P}$$

$$I(P) = |U(P)|^2 = |C \cdot b|^2 \cdot \frac{\sin^2(k \frac{b}{2} \sin \alpha)}{(k \frac{b}{2} \sin \alpha)^2}$$

Das Resultat zeigt das Quadrat der sogenannten Spaltfunktion der Struktur $\sin(x)/x$.

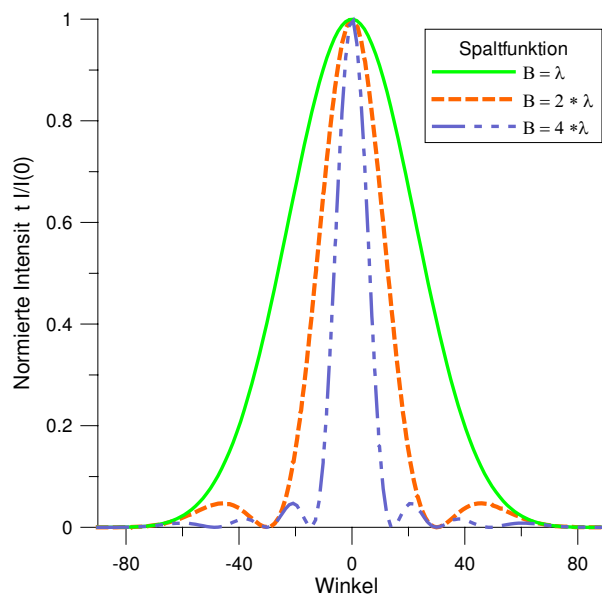


Abbildung: Normierte Intensität in Abhängigkeit von der Spaltbreite B

Aus der Diskussion der Eigenschaften der Spaltfunktion ergibt sich für die Position der Minima.

$$\sin \alpha = m \frac{\lambda}{b}$$

Für kleine Winkel α gilt $\sin \alpha \approx \tan \alpha = \frac{x}{L}$.

Schwingungen und Wellen

Abhängigkeit der Schallgeschwindigkeit von der Temperatur

$$c = \sqrt{\frac{\kappa p}{\rho}}$$

c - Schallgeschwindigkeit
 κ - Adiabatenkoeffizient
 p - mittlerer Druck
 ρ - mittlere Dichte

Zustandsgleichung idealer Gase

$$pV = mR'T$$

V - Volumen
 T - absolute Temperatur
 R' - Spezifische Gaskonstante

$$\frac{p}{\rho} = R'T$$

$$c = \sqrt{\kappa R'T}$$

$$c = \sqrt{\kappa R' \left(T_0 + \frac{\vartheta}{^\circ\text{C}} K \right)}$$

$$c = \sqrt{\kappa R' T_0 \left(1 + \frac{\vartheta}{^\circ\text{C} T_0} K \right)}$$

ϑ - Temperatur in $^\circ\text{C}$
 $T = T_0 + (\vartheta / ^\circ\text{C}) K$

Reihenentwicklung für den meteorologischen Temperaturbereich

$$c = \sqrt{\kappa R' T_0} \left(1 + \frac{1}{2} \frac{\vartheta}{^\circ\text{C} T_0} K \right)$$

$$c = 331 \text{ m s}^{-1} \left(1 + \frac{1}{2} \cdot \frac{\vartheta}{273,15^\circ\text{C}} \right)$$

Zahlen:
 $\kappa = 1,4$ für Luft
 $T_0 = 273,15 \text{ K}$
 $R' = 287 \text{ J}/(\text{kg K})$

$$c = \left(331 + 0,6 \frac{\vartheta}{^\circ\text{C}} \right) \text{ m s}^{-1}$$

Schwingungen und Wellen - Akustischer Doppler- Effekt

Quelle	Beobachter	beobachtete Frequenz
•	←●	$f_B = f_Q \left(1 + \frac{v_B}{c}\right)$
•	●→	$f_B = f_Q \left(1 - \frac{v_B}{c}\right)$
●→	•	$f_B = \frac{f_Q}{\left(1 - \frac{v_Q}{c}\right)}$
←●	•	$f_B = \frac{f_Q}{\left(1 + \frac{v_Q}{c}\right)}$
●→	←●	$f_B = f_Q \frac{c + v_B}{c - v_Q}$
←●	●→	$f_B = f_Q \frac{c - v_B}{c + v_Q}$
←●	←●	$f_B = f_Q \frac{c + v_B}{c + v_Q}$
●→	●→	$f_B = f_Q \frac{c - v_B}{c - v_Q}$

Doppler Effekt mit elektromagnetischen Wellen (LI CHT)

v-Relativgeschwindigkeit zwischen Quelle und Beobachter

- sich entfernende (Quelle) $f_B = f_Q \sqrt{\frac{c - v}{c + v}}$
- sich nähernde (Quelle) $f_B = f_Q \sqrt{\frac{c + v}{c - v}}$